

非平面保持の曲げを生ずる多室板構造の解法

大阪工業大学 正員 岡村宏一

1 序 平板によって構成される薄肉立体構造の3次元弾塑性解析に適用できる1つの解法を提示し、平板構造のうち一般的かつ複雑な形態をもつ多室板構造(図-1)を例に採って説明する。本文で提示する解法の特徴を列挙すれば大要次の通りである。

1) 連立非線形偏微分方程式の解法: この種の構造を構成する面要素はそれら相互の合成によって曲げならびに Scheibe action の双方を生ずる。しかも要素内に塑性域が生ずればその釣合りおよび適合条件式は連立非線形偏微分方程式となる。従来、このような式を解くには適当な mesh を仮定し有限差分式に変換する方法等が用いられてはいる。しかし、面要素で構成される複雑な立体構造の場合は要求される自由度の数は膨大なものになり計算容量、精度の点で発展性に乏しい。本解法ではこのような困難を除去するために1つの新しい手法を用いる。すなわち、塑性化した板内奥を囲む比較的小さい有限領域では上記の諸式中の塑性変形に伴う物理量は平均値を持つものとみなしてこれらの式を線形化する。その結果、解は連続解を得られ、釣合りおよび適合条件式を解くための連立方程式を解く必要はなく解析は著しく容易になる。解析の途上で塑性化した奥の plastic tensor の相互関係を表す差分表示が用いられるが、これは後に述べる降伏条件式に関連してこれらの近似値を逐次求めるものである。

2) 非平面保持の仮定: local な部分、特に塑性化する部分では解析上、平面保持の仮定を容認することには疑問がある。本解法では図-2 に示すように Web に対して厳密な2次元解析を行うことにより非平面保持の歪分布に対応できるようにした。

3) 合成条件: 合成条件は Flange と Web の合成面で要求される。この部分を完全合成させる手法は既に筆者が若干の立体構造の弾性解析に用いた方法を応用する。合成条件式も非線形であるが、合成面に沿って溝奥を採りその奥を囲む比較的小さい有限領域で不静定力を平均化する方法が1)の方法と併用される。合成条件式は連立になるが、溝奥の数は限られ、また解析の途上で square matrix は変化しないように操作される。

4) 塑性条件: 弾塑性解析の基本仮定として、構造材料は弾完全塑性体とし、応力-歪条件は Prandtl-Reuss の方程式に支配されるものとする。曲げと Scheibe Action の共存する板内の塑性化した奥の降伏条件は実際の yield hypersurface $F(M, N) = \text{const}$ を2つの hypersurface に分離する方法をとる。塑性化した各奥で同時に満足すべき降伏条件式は Ch. Massonet の方法¹⁾を拡張し1)～3)に示した方法と併用することにより線形化する降伏条件式は連立になるが、この種の立体構造では全領域降伏はあまり意味がない部分的塑性化、あるいは不安定現象への転移等が屡々問題となり奥の数も可成限定される。

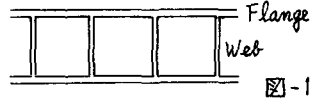


図-1

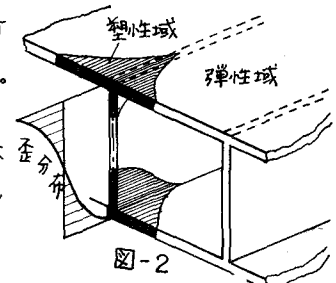


図-2

2 鈎合いおよび適合条件式とその解の誘導： 図-3に示す厚さ δ の板の微小エレメントについて、外荷重及び合成面において作用する不静定力として板の上下面に作用する鉛直力、 x, y 各方向の水平せん断力を夫々 $g_0, g_u, S_{ox}, S_{oy}, S_{uz}$ とし、板のたわみを w 、曲げ剛度 $D = \frac{E\delta^3}{12(1-\nu^2)}$ 、曲げモーメントおよび軸力の Component を $M_x, M_y, M_{xy}, N_x, N_y, N_{xy}$ と表わし、応力関数中、中央面における塑性ボテンシャル f を導入すれば、板の曲げたるひく Scheibe Action を支配する基礎式は次のようになる。

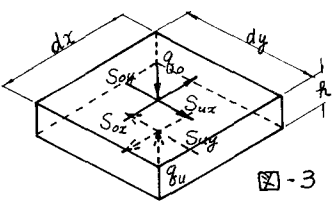


図-3

$$\Delta\Delta w = \frac{1}{D} \left[g_0 - g_u - \frac{\partial}{\partial x} \{ S_{ox} + S_{uz} \} + \frac{\partial}{\partial y} \{ S_{oy} + S_{uz} \} \right] - \frac{4}{R} \int_0^t \left[\frac{\partial^2}{\partial x^2} \{ \mu \left(\frac{\partial f}{\partial M_x} + \nu \frac{\partial f}{\partial M_y} \right) \} + \frac{\partial^2}{\partial y^2} \{ \mu \left(\frac{\partial f}{\partial M_y} + \nu \frac{\partial f}{\partial M_x} \right) \} - (1-\nu) \frac{\partial^2}{\partial xy^2} \{ \mu \frac{\partial f}{\partial M_{xy}} \} \right] dt \quad \dots \quad (1)$$

$$\Delta\Delta\phi = \frac{1}{R} \left[\nu \left\{ \frac{\partial}{\partial x} (S_{uz} - S_{ox}) + \frac{\partial}{\partial y} (S_{uy} - S_{oy}) \right\} - \left\{ \frac{\partial^2}{\partial y^2} \left(\int S_{uz} dx - \int S_{ox} dx \right) + \frac{\partial^2}{\partial x^2} \left(\int S_{uy} dy - \int S_{oy} dy \right) \right\} \right] - E \int_0^t \left[\frac{\partial^2}{\partial y^2} \left(\mu \frac{\partial f}{\partial M_x} \right) + \frac{\partial^2}{\partial x^2} \left(\mu \frac{\partial f}{\partial M_y} \right) - \frac{\partial^2}{\partial xy^2} \left(\mu \frac{\partial f}{\partial M_{xy}} \right) \right] dt \quad \dots \quad (2)$$

式中、時間 t に関する積分項は塑性変形に従属する項であり、塑性ボテンシャル $f = M_x^2 + M_y^2 - M_x M_y + 3M_{xy}^2 + N_x^2 + N_y^2 - M_x N_y + 3N_{xy}^2$ $\dots \quad (3)$

$$M_x = \frac{M_x}{M_p}, M_y = \frac{M_y}{M_p}, M_{xy} = \frac{M_{xy}}{M_p}, N_x = \frac{N_x}{N_p}, N_y = \frac{N_y}{N_p}, M_{xy} = \frac{N_{xy}}{N_p}, M_p = \frac{\sigma_p}{4} R^2, N = \sigma_p R \quad \sigma_p : \text{降伏応力}$$

に従って時間積分を荷重段階の和に置換し次のようになる。

$$\int_0^t \psi(x, y) dx = \sum_j \{ \psi_{(x, y)} \}^j, \quad \psi_{(x, y)} = \frac{1}{M_p} \left\{ \frac{\partial^2}{\partial x^2} (\mu M) + \frac{\partial^2}{\partial y^2} (\mu M') - 6(1-\nu) \frac{\partial^2}{\partial x \partial y} (\mu M_{xy}) \right\} \quad \dots \quad (4)$$

$$\int_0^t \Gamma_{(x, y)} dx = \sum_j \{ \Gamma_{(x, y)} \}^j, \quad \Gamma_{(x, y)} = \frac{1}{N_p} \left\{ \frac{\partial^2}{\partial y^2} (\mu N) + \frac{\partial^2}{\partial x^2} (\mu N') - 6 \frac{\partial^2}{\partial x \partial y} (\mu N_{xy}) \right\} \quad \dots \quad (5)$$

$$M = (2-\nu) M_x - (1-2\nu) M_y, \quad M' = (2-\nu) M_y - (1-2\nu) M_x, \quad N = 2N_x - N_y, \quad N' = 2N_y - N_x$$

ここで j は荷重の Step, μ は Plastic tensor の intensity である。次に断面力、および中央面における歪は以下のようになる。

$$\begin{aligned} M_x &= -D \left(\frac{\partial^2 w}{\partial x^2} + \nu \frac{\partial^2 w}{\partial y^2} \right) - \frac{4D}{R M_p} \sum_j (\mu M)^j, & M_y &= -D \left(\frac{\partial^2 w}{\partial y^2} + \nu \frac{\partial^2 w}{\partial x^2} \right) - \frac{4D}{R M_p} \sum_j (\mu M')^j \\ M_{xy} &= -D(1-\nu) \frac{\partial^2 w}{\partial x \partial y} - \frac{12D}{R M_p} (1-\nu) \sum_j (\mu M_{xy})^j, & N_x &= R \frac{\partial^2 \phi}{\partial y^2} + \int S_{ux} dx - \int S_{ox} dx \\ N_y &= R \frac{\partial^2 \phi}{\partial x^2} + \int S_{uy} dy - \int S_{oy} dy, \quad N_{xy} = -R \frac{\partial^2 \phi}{\partial x \partial y}, & \varepsilon_x &= \frac{1}{E R} (N_x - \nu N_y) + \frac{1}{N_p} \sum_j (\mu N)^j \\ \varepsilon_y &= \frac{1}{E R} (N_y - \nu N_x) + \frac{1}{N_p} \sum_j (\mu N')^j, & \gamma_{xy} &= \frac{2}{E R} (1+\nu) N_{xy} + \frac{6}{N_p} \sum_j (\mu N_{xy})^j \end{aligned} \quad \left. \right\} \quad (6)$$

非線形基礎式(1), (2)の解 w, ϕ, ψ は前節1) からひいて3) で述べた角解析工の工夫に基づき、図-4, 5 に示すように塑性変形の従属関数 $\psi_{(x, y)}$, $\Gamma_{(x, y)}$ および合成面に作用する不静定力の近似分布を考慮して連続関数により与えられる。なお、本文では紙面の都合上記述を簡単にするため Web は一方向にのみ配置され、且つ面外曲げ抵抗を無視し、Flange plate は周辺において歪を生じないよう拘束され板厚内での歪勾配を無視する場合を扱う。

Flange plate の解 w, ϕ, ψ 、断面力、 x 方向歪 ε_x は任意座標 (u, v) に対する式で与えられる。

$$w(u, v) = \frac{16a^2}{\pi^6} \left[\frac{a^2}{D} \left\{ g_0 \Omega_0(u, v) + \sum_k \sum_r (P_{0kr} - P_{1kr}) \Omega_{1kr}(u, v) - \frac{4}{R M_p} \sum_j \left\{ \sum_{k=1}^{j-1} \bar{\Psi}_{0k}^n + \bar{\Psi}_{1k}^n \right\} \Omega_{jk}(u, v) \right\} \right] \quad (7)$$

$$\phi_{(u,v)} = \frac{16a^2}{\pi^2} \left[\sum_{k=1}^{n_r} \sum_{r=1}^{k-1} (t_{ker} - t_{over}) \{ \lambda^2 \Lambda_{ker}(u,v) - \nu \Lambda_{over}(u,v) \} \right. \\ \left. - \frac{E}{Np} \sum_i \left\{ \sum_{k=1}^{i-1} \bar{\Gamma}_{(x_i, y_i)}^k + \bar{\Gamma}_{(x_i, y_i)}^i \right\} \Omega_i(u,v) \right] \quad \dots (8)$$

式中、 Ω 、 Λ 、 Λ' は任意の座標および前述の有限小領域の大きさに応じて単独に求まる級数和で

$$\Omega_0(u,v) = \sum_{m,n} \frac{\sin dm \alpha_r \sin fn \beta_0}{m^2(m^2 + \lambda^2 n^2)^2} \sin dm \alpha_r \sin fn \beta_0 \sin dm u \sin fn v$$

$$\Omega_{ker}(u,v) = \sum_{m,n} \frac{\sin dm \alpha_r \sin fn \beta_0 y_0}{m^2(m^2 + \lambda^2 n^2)^2} \sin dm \alpha_r \sin fn \beta_0 d_r \sin dm u \sin fn v$$

$$\Omega_i(u,v) = \sum_{m,n} \frac{\sin dm \alpha_r \sin fn \beta_0 y_i}{m^2(m^2 + \lambda^2 n^2)^2} \sin dm \alpha_r \sin fn \beta_0 d_r \sin dm u \sin fn v$$

$$\Lambda_{ker}(u,v) = \sum_{m,n} \frac{\cos dm \alpha_r \sin fn \beta_0}{m(m^2 + \lambda^2 n^2)^2} \sin dm \alpha_r \sin fn \beta_0 d_r \sin dm u \sin fn v$$

$$\Lambda'_ker(u,v) = \sum_{m,n} \frac{mcos dm \alpha_r \sin fn \beta_0}{m^2(m^2 + \lambda^2 n^2)^2} \sin dm \alpha_r \sin fn \beta_0 d_r \sin dm u \sin fn v$$

ただし $\alpha_r = m\pi/a$ 、 $\beta_0 = n\pi/b$ 、 $\lambda = \sqrt{b}/a$ これらは級数は統和公式を用いて単級数に変換して4次束値を得る。

(7)、(8)を(6)に代入して断面力を求めよ。

$$M_x(u,v) = \frac{16a^2}{\pi^4} \left\{ g_0 w_{00}(u,v) + \sum_{k=1}^{\infty} \sum_r (Poker - Puler) W_{ker}(u,v) \right. \\ \left. - \frac{64D}{\pi^4 R M_p} \left[\sum_{k=1}^{i-1} \left\{ \sum_i \psi_{(x_i, y_i)}^k W_i(u,v) + \frac{\pi^4}{16} (\mu M)_{(u,v)}^k \right\} \right. \right. \\ \left. \left. + \sum_i \bar{\psi}_{(x_i, y_i)}^i W_i(u,v) + \frac{\pi^4}{16} (\mu M)_{(u,v)}^i \right] \right\} \quad \dots (9)$$

$$N_x(u,v) = -\frac{16a}{\pi^3} \left[\sum_{k=1}^{\infty} \sum_r (t_{ker} - t_{over}) \{ \rho_{ker}(u,v) \lambda^2 - \bar{\psi}_{ker}^k(u,v) - R_{ker}(u,v) \} \right. \\ \left. - \frac{Eh}{\pi^3 N p} \sum_i \left\{ \sum_{k=1}^{i-1} \bar{\Gamma}_{(x_i, y_i)}^k + \bar{\Gamma}_{(x_i, y_i)}^i \right\} \Omega_i(u,v) \right] \quad \dots (10)$$

同様にして M_y 、 M_{xy} 、 N_y 、 N_{xy} 等も求まるが紙面の都合で省略する。

w 、 p 、 t 、 R 、 Ω は前述の Ω 、 Λ 、 Λ' と同様に単独に求まる級数和である。

又頂板の場合 $Poker$ 、 $toker = 0$ 、底板の場合 $Puler$ 、 $tuler = 0$ である。

(7)～(10)の各式に含まれる $\psi_{(x_i, y_i)}$ 、 $\bar{\Gamma}_{(x_i, y_i)}$ は (4)、(5)より塑性化したときよりうらびに周囲の 8 個の断面力の近似値を与えてれば、図-6 のネットを用いて各点の μ の代数関数として次のように近似的に与えられる。

$$\bar{\psi}_{(x_i, y_i)} = l^2 \{ \mu_{i(1)} M_{i(1)} + \mu_{i(2)} M_{i(2)} + (\lambda s)^2 \{ \mu_{i(1)} M'_{i(1)} + \mu_{i(2)} M'_{i(2)} \} \\ - 2\mu_{i(1)} \{ l^2 M_{i(1)} + (\lambda s)^2 M_{i(1)} \} - l(1-\nu) \lambda l S \{ \mu_{i(1,2)} (M_{xy})_{i(1,2)} \} \\ - \mu_{i(1,2)} (M_{xy})_{i(1,2)} - \mu_{i(1,2)} (M_{xy})_{i(1,2)} + \mu_{i(1,2)} (M_{xy})_{i(1,2)} \} \} \quad \dots (11)$$

$\bar{\Gamma}_{(x_i, y_i)}$ も同様に求まる。一方 Z 方向の変位 ε_x は再び (6) 式から次式のように得られる。

$$Ex(u,v) = -\frac{16a}{\pi^3 E h} \sum_{k=1}^{\infty} \sum_r (t_{ker} - t_{over}) \{ l^2 E_{ker}(u,v) - F_{ker}(u,v) - R_{ker}(u,v) \} + \frac{16}{\pi^4 N p} \sum_{k=1}^{i-1} \left\{ \sum_i \bar{\Gamma}_{(x_i, y_i)}^k I_i(u,v) \right. \\ \left. + \frac{\pi^4}{16} (\mu N)_{(u,v)}^k \right\} + \sum_i \bar{\Gamma}_{(x_i, y_i)}^i I_i(u,v) + \frac{\pi^4}{16} (\mu N)_{(u,v)}^i$$

式中 E 、 F 、 I は前例同様単独に求まる級数和である。

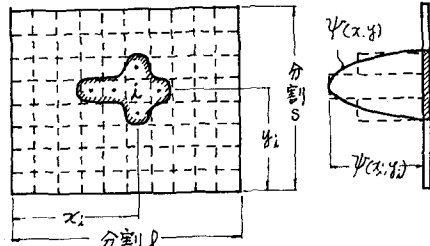
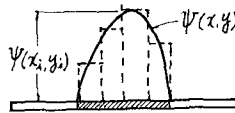
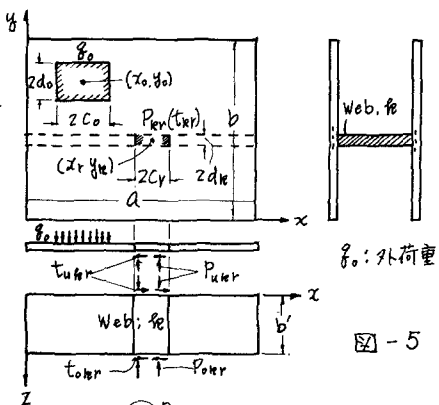
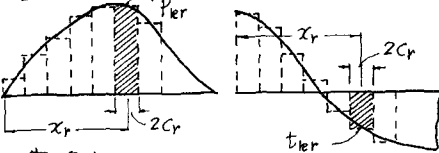


図-4 塑性域と塑性変形関数 $\psi(x,y)$ の近似
($\bar{\Gamma}(x,y)$ も同様に近似される。)



g_0 : 外荷重



g_0 : 外荷重

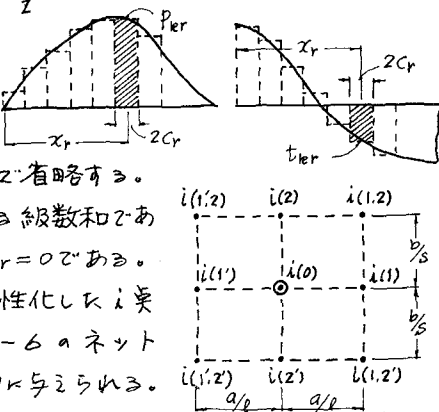


図-6 i 点 [$i(1,2)$] を用いた 8 口の奥の指標

$i(1,2)$

Web plate Φ_R の解 Φ_R は任意実 (x, z) に対して、次のようになります。

$$\Phi_R(x, z) = -\frac{16a^2}{\pi^6 N_p} \sum_i \left\{ \sum_{m=1}^{j-1} \left[\bar{\Gamma}_{(x, z)} + \bar{\Gamma}_{(x, z)}^j \right] \Omega_i(x, z) + \frac{1}{4} \sum_m X_m(z) \sin \alpha_m x \right\} \quad (13)$$

式中、 $X_m(z) = A_m \sinh \alpha_m z + B_m \cosh \alpha_m z + C_m \alpha_m z \sinh \alpha_m z + D_m \alpha_m z \cosh \alpha_m z$ \dots (13)

積分定数 $A_m \sim D_m$ は Web と境界に沿うる不静定力分布によって以下の条件により定まる。

$$\begin{aligned} \left(\frac{\partial^2 \Phi}{\partial x^2}\right)_{z=0} &= \frac{4}{\pi} \sum_r P_{0r} \sum_m \frac{1}{m} \sin \alpha_m x_r \sin \alpha_m c_r \sin \alpha_m x, \quad \left(\frac{\partial^2 \Phi}{\partial x^2}\right)_{z=b} = \frac{4}{\pi} \sum_r P_{0r} \sum_m \frac{1}{m} \sin \alpha_m x_r \sin \alpha_m c_r \sin \alpha_m x \\ -\left(\frac{\partial^2 \Phi}{\partial x \partial y}\right)_{z=0} &= \frac{4}{\pi} \sum_r t_{0r} \sum_m \frac{1}{m} \cos \alpha_m x_r \sin \alpha_m c_r \cos \alpha_m x, \quad -\left(\frac{\partial^2 \Phi}{\partial x \partial y}\right)_{z=b} = \frac{4}{\pi} \sum_r t_{0r} \sum_m \frac{1}{m} \cos \alpha_m x_r \sin \alpha_m c_r \cos \alpha_m x \end{aligned} \quad (14)$$

以上により Φ_R を定め Flange Plate の場合と同様に断面力および $z = 0, z = b'$ 各辺の変位 $(x_r, z = 0), (x_r, z = b')$ の x 方向歪 $\varepsilon_{xz}(x_r, z = 0), \varepsilon_{xz}(x_r, z = b')$ 、 z 方向変位 $U_{xz}(x_r, z = 0), U_{xz}(x_r, z = b')$ が求まるが詳細は紙面を割愛する。

3 合成条件式: 合成条件式は合成面上に採った変位 $=$ おいて Flange Plate と Web plate の差を適合させて求められる。例えば Web と a 合成面上の変位 (x_r, y_R) における直板および底板の傾き ω 、歪 $\varepsilon_x(x_r, y_R), \varepsilon_z(x_r, y_R), \bar{\varepsilon}_x(x_r, y_R), \bar{\varepsilon}_z(x_r, y_R)$ とすれば、

$$W(x_r, y_R) = U_{xz}(x_r, z = 0), \bar{W}(x_r, y_R) = U_{xz}(x_r, z = b'), \varepsilon_x(x_r, y_R) = \varepsilon_{xz}(x_r, z = 0), \bar{\varepsilon}_x(x_r, y_R) = \varepsilon_{xz}(x_r, z = b') \quad (15)$$

合成条件式により不静定力 $P_{0r}, P_{1r}, t_{0r}, t_{1r}$ 等はいずれも作用荷重 μ 。ならびに Flange, Web の塑性変形に伴う諸量 $\psi, T, \mu M, \mu N$ 等の関数として表示されることになる。

4 降伏条件式ならびに逐次計算の方法: Flange あるいは Web の塑性化した点 i の降伏条件は(3)により

$$f_i = 1 \quad \dots \quad (16)$$

$f < 1$ はる場合は弾性至路上にあり、この時 $\mu = 0$ である。構造全域が弾性状態の場合の計算には特に問題はない。弾塑性状態の場合の逐次計算は次のようにして行なう。今、荷重段階 $j-1$ から j に移行する時 μ を考えよう。 $j-1$ 段階におけるすべての諸量は確定したものとする。先づ荷重を j 段階の μ に増加させ $\psi, T, \mu M, \mu N$ 等の塑性項を $j-1$ 段階に止め(9), (10)等の断面力の式および合成条件式により j 段階での M, N の第1近似値 M^{j-1}, N^{j-1} を求める。次にこれ等を(3)式に代入して各点 i の f^{j-1} を計算し、幾つかの点で $f^{j-1} > 1$ はるところとする。これらの塑性化した各点 i で $f = 1$ はるところ μ^{j-1} を次のよう求めることとする。両び(9), (10), 合成条件式等を用いて j 段階の塑性項 $\Delta M, \Delta N$ を表すことができる。一方、前述の M^{j-1}, N^{j-1} を用い(11)等より j 段階の塑性項の第1近似値 $\psi^{j-1}, T^{j-1}, (\mu M)^{j-1}, (\mu N)^{j-1}$ が intensity μ^{j-1} の代数式として得られる。結局、 $\Delta M^{j-1}, \Delta N^{j-1}$ が μ^{j-1} の代数関数で求まる。次に M^{j-1}, N^{j-1} の変化量 $\Delta M^{j-1}, \Delta N^{j-1}$ はより塑性ボテンシャルが Δf^{j-1} だけ変化したものとする。塑性域にある各点 i で $\Delta f^{j-1} + f^{j-1} = 1$ でなければならぬ。 $\Delta M^{j-1}, \Delta N^{j-1}$ の2次の項を無視して降伏条件式を線形化すると、

$$\begin{aligned} \frac{1}{M_p^2} \left\{ M_x^{j-1} (2\Delta M_x^{j-1} - \Delta M_y^{j-1}) + M_y^{j-1} (2\Delta M_y^{j-1} - \Delta M_x^{j-1}) + \Delta M_{xy}^{j-1} (\Delta M_{xy}^{j-1}) \right\} + \frac{1}{N_p^2} \left\{ N_x^{j-1} (2\Delta N_x^{j-1} - \Delta N_y^{j-1}) \right. \\ \left. + N_y^{j-1} (2\Delta N_y^{j-1} - \Delta N_x^{j-1}) + \Delta N_{xy}^{j-1} (\Delta N_{xy}^{j-1}) \right\} = f_{j-1} - 1 \quad \dots \quad (17) \end{aligned}$$

(17)は塑性域にある各点で要求され、これらの点の μ^{j-1} は連立一次方程式である。遊び塑性項を修正して得られ μ^{j-2}, N^{j-2} が(16)に付し収束する迄繰返し計算を行なう。

1) Ch. Marinot: General Theory of Elasto-plastic Membrane Plates; Eng. Plasticity, 1968